

# مطالعه ساختاری گل شیرین‌بیان<sup>۱</sup> در طی مراحل نموی: نمو بساک، دانه گرده و ساختارهای ترشحی

\*زهرا هاشمی، فرخنده رضانژاد:  
دانشگاه شهید باهنر کرمان، گروه زیست‌شناسی

## چکیده

در پژوهش حاضر گل‌های شیرین‌بیان از لحاظ ساختاری طی مراحل نموی، با روش‌های سلول بافت‌شنایتی بررسی شدند. گل‌ها پروانه‌آسا، بال‌ها دارای رنگ تیره‌تر نسبت گلبرگ‌های دیگر، ناوها از قاعده جدا از هم، نافه دودسته‌ای و ناجور ریخت، بساک‌ها برون‌گشا و شکوفایی طولی، تخمک‌ها واژگون و پرخورش، خامه توخلای و کیسه جنبی پلی‌گونوم است. سلول‌های لایه مغذی بساک مستطیلی شکل با دو یا یک هسته و از نوع ترشحی است که پس از تشکیل تتراد شروع به تجزیه می‌کند، آرایش میکروسپور ها درون دیواره کالوزی چهاروجهی و پس از تقسیم میوز جداربندی یا تقسیم سیتوپلاسم از نوع همزمان است. ساختارهای ترشحی به صورت حفره‌های ترشحی در بال، کرک‌های ترشحی در جدار کاسه‌گل، تخدمان و میوه بالغ، بشره ترشحی در کاسه‌گل و تخدمان دیده می‌شوند. ابیدرم تخدمان و تخمک با مواد فنلی و مواد با زیربنای چربی پر شده است.

## مقدمه

یکی از جنس‌های زیرتیره پروانه آسا<sup>۲</sup>، جنس گلیسریزا<sup>۳</sup> است که حدود ۳۰ گونه دارد. گیاهان این جنس علفی یا بوته‌ای هستند. اسم جنس از کلمه‌های یونانی گلیسی<sup>۴</sup> به معنی شیرین و ریزا<sup>۵</sup> به معنی ریشه گرفته شده است. از گیاهان مهم این جنس شیرین‌بیان است که به اسمی مولاتاهی<sup>۶</sup> در هندی، کانزو<sup>۷</sup> در ژاپنی، کانکانو<sup>۸</sup> در چینی و شیرین بیان<sup>۹</sup> در فارسی شناخته شده است. ریشه گیاه ارزش دارویی دارد و بقیه قسمت‌ها به عنوان علوفه به کار می‌روند [۱۶]. شیرین‌بیان گونه‌ای مدیرانه‌ای است که مرزهای شرقی رویش آن به ایران و افغانستان می‌رسد [۲۴]. این گیاه از پرارزش‌ترین گیاهان دائمی علفی یا نیمه بوته‌ای با ارتفاع حدود ۱ تا ۱/۵ متر است که ساقه‌های هوایی نازک آن از ریزوم ضخیم رشد می‌کنند. ساختار گل آن پروانه‌آساست و برای گردده‌افشانی به وسیله حشرات و نیز خودگردده‌افشانی سازمان یافته است [۱۶].

**واژه‌های کلیدی:** گل پروانه‌آسا، میکروسپور زایی، شیرین‌بیان (*Glycyrrhiza glabra*), کرک‌های ترشحی

پنیرش ۹۰/۸/۱۱

دریافت ۸۹/۶/۲۷

\*نویسنده مسئول

hashemiz15@yahoo.com

- |                                 |                        |                       |                 |                 |
|---------------------------------|------------------------|-----------------------|-----------------|-----------------|
| ۱. <i>Glycyrrhiza glabra</i> L. | ۲. <i>Papilioideae</i> | ۳. <i>Glycyrrhiza</i> | ۴. <i>glycy</i> | ۵. <i>rhiza</i> |
| ۶. Mulathai                     | ۷. Kanzoh              | ۸. Gancao             | ۹. Shirin bayan |                 |

تاکنون ساختمان گل بسیاری از گیاهان تیره بقولات<sup>۱</sup> بررسی شده است. پژوهش‌ها نشان داده‌اند بیشتر گل‌های زیرتیره پروانه‌آسا ۵ کاسبرگ، سه نوع گلبرگ به تعداد ۵ عدد (درفش، دو بال و دو ناو)، ۱۰ پرچم به حالت دودسته‌ای و یک برچه تکخانه دارند [۲۵]. گلبرگ درفش گلبرگ‌های دیگر را در بر می‌گیرد و گلبرگ‌های ناو در اغلب موارد بهم پیوسته و ساختمان ناوی شکلی بهموجود می‌آورند. در برخی موارد اندام‌های گل ویژگی‌های دیگری مانند اپیدرم تمایزیافته در گیاه پترودن امرجیناتوس<sup>۲</sup> [۱۳] و کرک‌های ترشحی و پوششی در طایفه سواریتزی<sup>۳</sup> [۲۸] و ساختار‌های تولید کننده شهد خارج از گل در گیاه اریترینا سیپیوسا<sup>۴</sup> [۱۲] دارند.

در زیرتیره پروانه آسا تخمک دو پوسته‌ای، واژگون و پرخورش [۴]، [۱۰]، [۱۴]، [۲۰] و میکرپیل زیگزاگ و کیسه‌جنینی از نوع پلی‌گونوم [۴]، [۷] و [۲۷] است که در برخی موارد در تیره نخدود تخمک خمیده نیز دیده می‌شود [۲۷]. هر دو نوع تتراد خطی و T-شکل در طی مراحل مگاسپورزایی دیده شده است [۴]، [۷] و [۲۰]. بهطور معمول بساک بهترتبی از بیرون به درون از چهار لایه اپیدرم، لایه مکانیکی، یک لایه میانی و لایه تاپی تشکیل می‌شود [۸]، [۱۷]، اما در برخی موارد مانند گیاه سپاتیوم جانسیوم<sup>۵</sup>، لایه میانی از دو لایه سلول تشکیل شده است [۱۴]. در این زیرتیره در بیشتر گیاهان مانند لویبا<sup>۶</sup> لایه تاپی ترشحی و تقسیم سیتوپلاسم از نوع همزمان است [۱۴]، [۱۷].

شیرین‌بیان همواره به عنوان گیاهی دارویی و صنعتی بسیار مورد توجه است و از ریشه آن استفاده زیادی می‌شود، در صورتی که گل آن نیز بدليل ساختار پروانه‌آسا و توانایی در جلب گرده افسان‌های خاص بهویژه زنبورهای عسل و نیز نقش آن در باروری و تولید دانه، اهمیت بسیار دارد. هر چند تکثیر رویشی این گیاه سریع است و از این طریق تکثیر می‌شود، اهمیت دانه در تنوع زیستی و تولید ارقام جدید قابل توجه است. در این پژوهش، ساختار گل و نحو، نمو اندام‌های آن با تأکید بر مقایسه اهمیت گلبرگ‌ها در گرددهافشانی بررسی شده است.

## مواد و روش‌ها

در این پژوهش گل‌های شیرین‌بیان در مراحل مختلف نمو در ارديبهشت سال ۱۳۸۸ از کرمان جمع‌آوری و در محلول FAA (الکل اتانول ۷۰٪، اسید استیک، فرمالدئید بهترتبی به نسبت‌های ۹:۵:۵) ثبت شدند و پس از آب‌گیری<sup>۷</sup> در درجات رو به افزایش الکل، بهمنظور تهیه بلوك‌های پارافینی در مخلوط‌های رو به افزایش الکل-تولوئن-پارافین و پارافین خالص، قرار گرفتند. برش‌گیری نمونه‌ها توسط میکروتوم چرخان با ضخامت ۸ تا ۱۱ میکرومتر انجام شد. برش‌های حاصل پس از پارافین‌زدایی، با هماتوکسیلین و اوزین الکلی رنگ‌آمیزی شدند. نمونه‌های مناسب با دوربین دیجیتال و میکروسکوپ نوری اولیمپوس عکس‌برداری و بررسی شدند [۱۴].

۱. Fabaceae

۲. *Pterodon emarginatus*

۳. Swartzieae

۴. *Erythrina speciosa*

۵. *Spartium junceum*

۶. *Phaseolus vulgaris*

۷. Dehydration

## نتایج

### ریخت‌شناسی گل و گل‌آذین در شیرین‌بیان

ارتفاع این گیاه از حدود ۵/۰ تا ۱/۵ متر مقاوم است (شکل ۱ A). در زاویه بین برگ‌ها (مرکب شانه‌ای) با ساقه اصلی، محور گل‌آذین خوش‌های رشد می‌کند، در نتیجه در روی یک گل‌آذین گل‌های مختلف از نظر مراحل نموی را می‌توان دید (شکل ۱ B).

گل شیرین‌بیان دو جنسی، با تقارن دو جانبه، پروانه‌آسا با سه نوع گلبرگ درفش، بال و ناو و بهرنگ آبی روشن تا بنفس تیره است (شکل ۲ A-I). درفش، حاشیه‌های توسعه یافته‌ای دارد و همه اندام‌های گل را در بر می‌گیرد و در پایه گل سفیدرنگ و در رأس به رنگ بنفس است. در یک گل جوان در حین بزرگ شدن جوانه گل، به تدریج درفش نمایان می‌شود، اما اجزای دیگر تا هنگام شکوفایی کامل گل، توسط درفش پوشیده می‌شوند (شکل ۲ A). در گل‌های بالغ، ناوها کوتاه و پهن‌تر از بال‌ها و کمرنگ‌ترین گلبرگ‌ها هستند و از قاعده تا رأس از یکدیگر جدا هستند. بال‌ها پررنگ‌ترین گلبرگ‌ها و به رنگ بنفس تیره و در مقایسه با ناوها کشیده‌تر و باریک‌تر هستند (شکل ۲ B).

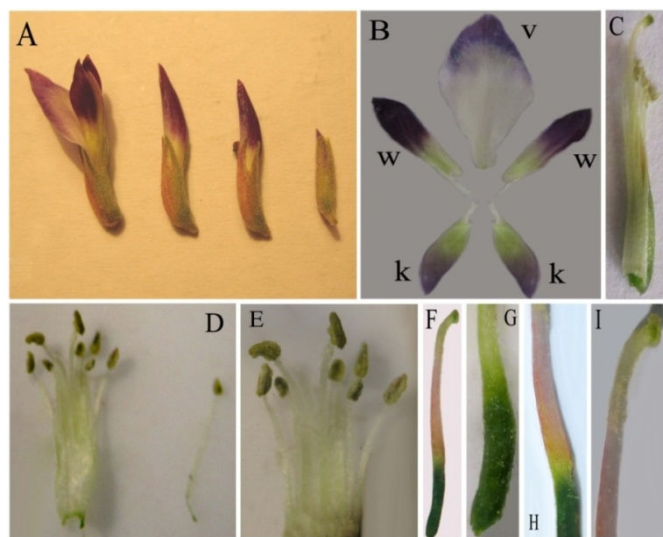
پرچم‌ها در حلقة سوم گل در دو پیرامون ۵ پرچمی به حالت دیadelph يا دودسته‌ای<sup>۱</sup> و ناجور ریخت قرار دارند (شکل ۲ E). در مرحله بلوغ، میله پرچم‌ها نسبت به مادگی کوتاه‌تر است (شکل ۲ C).



شکل ۱. ساختار رویشی و زایشی شیرین‌بیان  
A. ساختار رویشی، B. گل‌آذین خوش‌با گل‌های بنفس‌رنگ

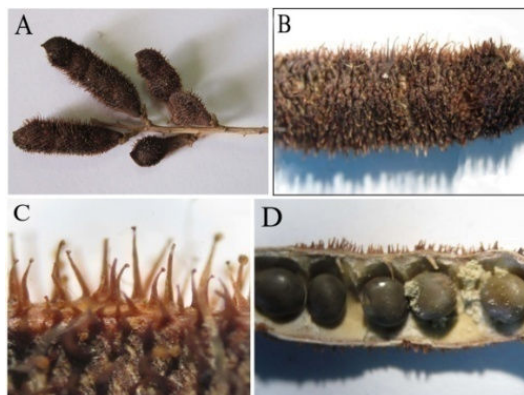
مادگی که داخلی‌ترین حلقة گل است، فوقانی (زبرین)، تک برچه‌ای، تکخانه است و تخمرک‌ها (دانه‌ها) در یک ردیف با تمکن کناری قرار دارند (شکل ۳ D). اپیدرم مادگی دارای کرک‌های ترشحی است که حتی بعد از تشکیل میوه می‌توان آن‌ها را بر روی دیواره میوه نیام دید (شکل‌های ۲ F-I و ۳ A-D).

<sup>۱</sup>. Diadelphous



شکل ۲. ساختار گل و اجزای آن در شیرین بیان

A. گل در مراحل نموی مختلف، B. آرایش جام گل به ترتیب درفش (V)، بال (W)، ناو (K)، C-E. نافه، دودسته‌ای و ناجور ریخت بودن آشکار است، همچنین مادگی نیز در میان نافه قابل رویت است، C-F. مادگی و اجزای آن، روی تخدمان و محل اتصال آن با خامه کرک‌های ترشحی فراوانی دیده می‌شود، G-I. با بزرگنمایی ۴X و ۱۰X با B-D، F با ۱۰X بزرگنمایی X۴ بازدید شدند، k = ناو، w = درفش، v = بال.



شکل ۳. ساختار میوه (خدمان) و دانه (تخمک) در شیرین بیان

A. میوه نیام روی گل آذین خوش، B. بخشی از میوه دارای کرک‌های فراوان، C. کرک‌های طویل میوه با انتهای کروی، D. دانه‌ها به تعداد ۲-۵ عدد، C با بزرگنمایی ۴X و D با بزرگنمایی ۱۰X.

### پررسی مراحل نموی گل شیرین بیان

#### نمودار گلپوش

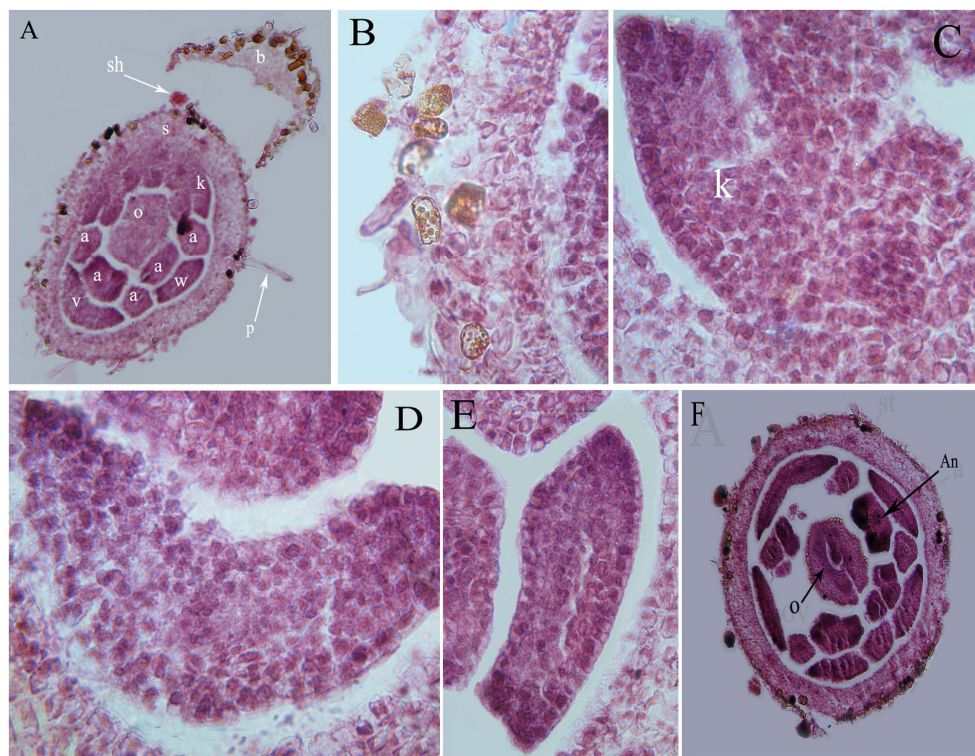
نمودار گلپوش نسبت به اندام‌های دیگر زودتر شروع می‌شود و زمانی که هنوز در سایر اندام‌ها تمایز بافتی رخ نداده است، کاسبرگ‌ها تمایز خود را شروع می‌کنند و حتی در ابتداء آن‌ها می‌توان سلول‌های تمایز یافته با محتویات مواد فلئی (تاننی) و مواد با زیربنای چربی را دید. ویژگی دیگر کاسبرگ‌ها داشتن کرک‌های ترشحی روی سطح خارجی است، که این کرک‌ها در سطح برآکته پای گل نیز دیده می‌شوند (شکل ۴ A و B). در این

مرحله درفش کوچک است، بهطوری‌که ضخامت آن (واسعت بافت‌های تشکیل دهنده) در مقایسه با عرض آن به نسبت بیشتر است و در رنگ‌آمیزی با هماتوکسیلین سلول‌های آن با هسته‌های حجم و فضای بین سلولی کم، رنگپذیری بالایی نشان می‌دهند. شدت رنگپذیری در دو گوشه (لبه) گلبرگ بیشتر مشاهده می‌شود (شکل ۴ D و A). شرایط نموی دو گلبرگ نلو و بال تفاوت شاخصی با درفش نشان نداد و بهطور چشمگیر در دو لبه هر سه نوع گلبرگ رنگپذیری بالاتر دیده می‌شد که نشان دهنده تقسیمات سلولی فراوان در این بخش‌هاست. ویژگی عمده ناو‌ها این است که از همان مراحل اولیه نمو، جدا از یکدیگر هستند. سلول‌های اپiderمی در هر سه نوع گلبرگ به صورت استوانه‌ای، با رنگپذیری بالا و هسته‌متمايل به سمت قاعده هستند (شکل ۴ C-E).

به تدریج همزمان با تشکیل بافت اسپوروژن در کیسه‌های گرد بساک، گسترش گلبرگ‌ها و رنگپذیر بودن آن‌ها در دو لبه ادامه دارد که نشانه تقسیم سلولی در این محل‌ها است، اما کشیدگی آن‌ها به حدی نیست که همپوشانی انجام شود، بنا بر این در یک حلقه دیده می‌شوند (شکل ۴ F).

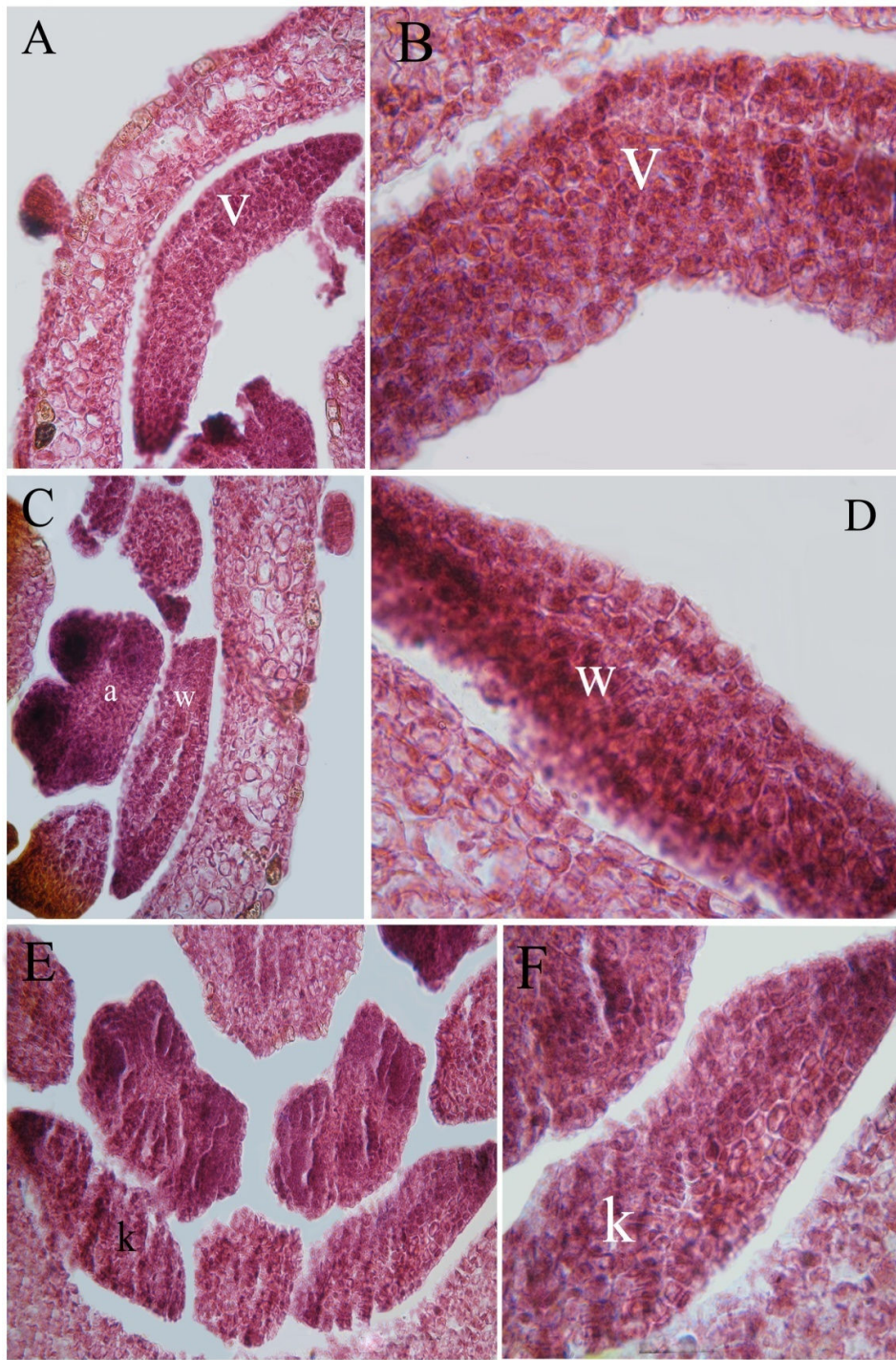
در این مرحله در بافت اپiderم بیرونی گلبرگ درفش، دیواره بیرونی حالت برآمده و برجسته دارد و هسته‌ها بزرگ و پررنگ هستند و در بافت اپiderم درونی سلول‌ها با نظم بیشتری قرار دارند و حجمتر و مشخص‌تر هستند. در این سلول‌ها هسته‌ها حجم و قاعده‌ای هستند. بافت پارانشیمی درفش نیز جز افزایش فضای بین سلولی در برخی بخش‌ها تمایز خاصی نشان نمی‌دهد (شکل ۵ A، B). در بافت اپiderم بیرونی بال همانند درفش، سلول‌ها منظم و پررنگ هستند. سلول‌های اپiderم درونی کمرنگتر، منظمتر و دارای سیتوپلاسم شفاف و هسته مشخص هستند (شکل ۵ C، D). در کل، پارانشیم درونی بال نسبت به دیگر بافت‌ها پررنگ‌تر است. اپiderم درونی ناو نیز مشابه بال است، با این تفاوت که این سلول‌ها کوچک‌تر هستند. در گلبرگ ناو سلول‌های اپiderم بیرونی کشیده‌تر هستند و دیواره طولی آن‌ها مماس با فضای بین‌سلولی است (شکل ۵ E، F).

با افزایش نمو، همزمان با مرحله میکروسپورزایی در بساک، گلبرگ‌ها به مقدار زیادی توسعه و همپوشانی یافته (شکل ۸ F) و فضای بین‌سلولی توسعه یافته‌ای نیز در بافت زمینه‌ای آن‌ها دیده می‌شود. در بافت گلبرگ ناو تعداد و میزان توسعه این فضاهای بیشتر از بقیه گلبرگ‌ها است (شکل ۶ A-F). در بافت اپiderم درونی هر سه گلبرگ سلول‌ها مشخص‌تر شده‌اند، اما دیواره آن‌ها همچنان حالت برآمده دارد و اپiderم بیرونی به حالت یک ردیف سلول خطی دیده می‌شود (شکل ۶ B، D, F). به تدریج همپوشانی گلبرگ‌ها بیشتر می‌شود بهطوری که درفش گستردۀ می‌شود و بهطور تقریبی تمام اندام‌های درونی را در بر می‌گیرد، گسترش درفش از سطح پشتی امتداد می‌یابد، بال‌ها در دو سطح جانبی و ناو در سطح شکمی قرار می‌گیرند و با درفش احاطه می‌شوند (شکل ۸ J). فضای بین‌سلولی هر سه گلبرگ به‌خصوص بال‌ها به بیشترین مقدار می‌رسد و علاوه بر فضاهای خالی در بافت زمینه، تعدادی از فضاهای با موادی به رنگ قرمز روشن نیز دیده می‌شوند. همانند فضاهای بین‌سلولی، تعداد این لکه‌های قرمز رنگ در گلبرگ بال بیشتر از بقیه گلبرگ‌ها است (شکل ۷ A-E).

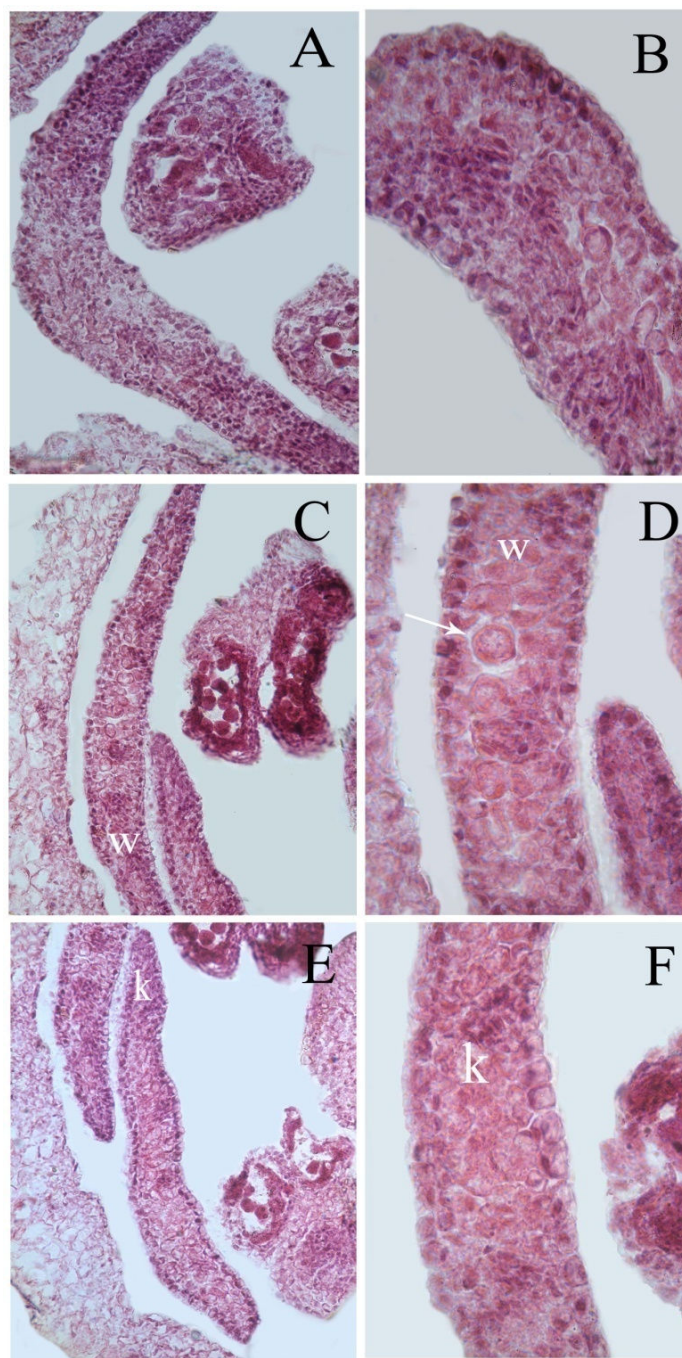


شکل ۴. ساختار تشريحی غنچه جوان گل شیرین بیان

A. برش عرضی گل در مرحله‌ای که تمایز خاصی در اندام‌ها دیده نمی‌شود،  $10\times$ . B. کاسبرگ‌ها،  $10\times$  تا  $100\times$  ترتیب ناو، درفش و بال،  $100\times$ ، (فقط کاسبرگ‌ها تا حدودی تمایز نشان می‌دهند و در سایر اجزای گل تمایز آشکاری دیده نمی‌شود)، F. مقطع کامل گل در مرحله تمایز بافت اسپوروژن، شروع تمایز اجزای گل،  $15\times$  =a =b =w =v =k =p =o =s =sh =b =p =sh =An =st =k =o =An =st

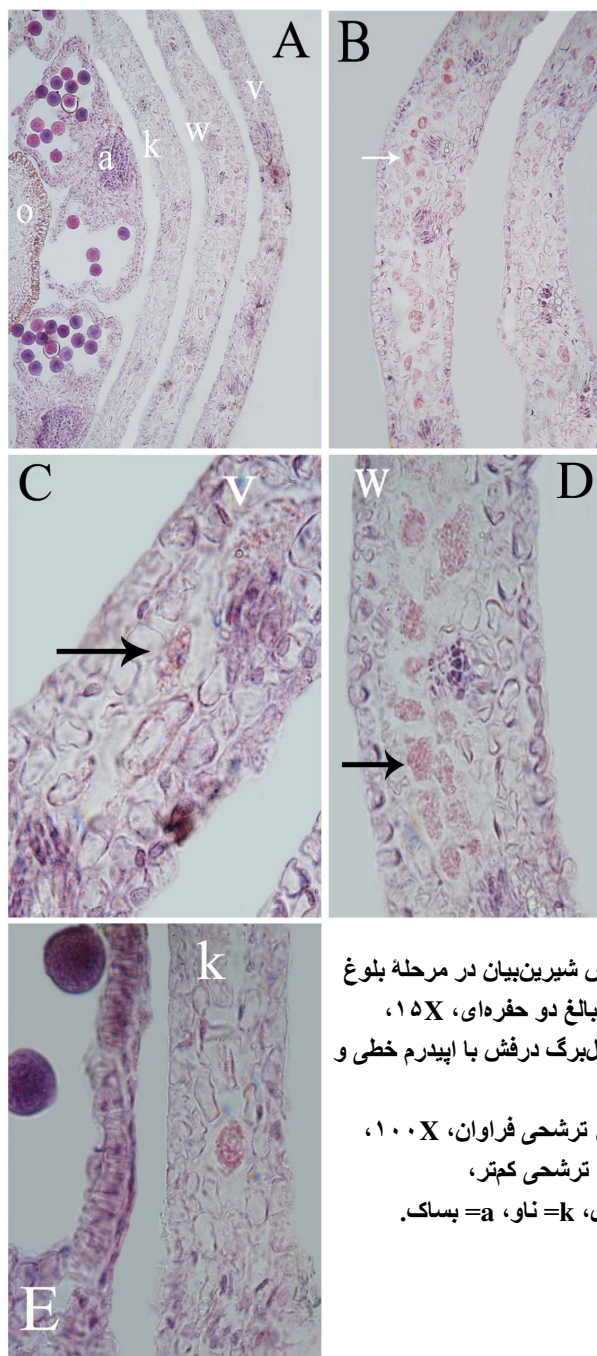


شکل ۵. ساختار تشريحی گلپوش در گل شیرین بیان در مرحله بافت اسپوروزن A-F. به ترتیب ساختار درفش، درفش، بال، بال، ناو و ناو، همچنین در شکل A کاسبرگ‌های به هم پیوسته با کرک ترشحی دیده می‌شوند، بزرگنمایی A, C, E برابر  $40\times$  و B, D, F برابر  $100\times$  درفش، W = بال، a = ناو، k = بال، v = ناو، بساک.



شکل ۶. ساختار گلپوش شیرین بیان در مرحله میکروسپورزایی

A, B. درفش، تعداد کمی ساختارهای ترشحی در آن دیده می‌شود، به ترتیب  $40\times$  و  $100\times$ . C, D. گلبرگ بال، ساختارهای ترشحی فراوانی در آن دیده می‌شود به ترتیب  $40\times$  و  $100\times$ . E, F. گلبرگ ناو، به ترتیب  $40\times$  و  $100\times$ . v = درفش، w = بال، k = ناو، a = بساک.



شکل ۷. برش عرضی گلپوش شیرین بیان در مرحله بلوغ  
A. ساختار گلپوش و بساک بالغ دو حفره‌ای،  $15\times$   
B. ساختار بال،  $40\times$ . گلبرگ درفش با اپیدرم خطی و  
فضای بین سلولی،  $100\times$   
C. ساختار بال با ساختارهای ترشحی فراوان،  $100\times$   
D. ساختار ناو با ساختارهای ترشحی کمتر،  
E. ساختار ناو با ساختارهای ترشحی کمتر،  
F. درفش،  $w$ =بال،  $k$ =ناو،  $a$ =بساک.

#### نمودار و دانه گرد

در مراحل اولیه نمو، هیچ تمایز خاصی در بافت بساک و تخدمان دیده نمی‌شود و همه سلول‌ها پارانشیمی هستند (شکل ۸ A). با افزایش نمو، سلول‌های آرکتوسپور چهارگوش بساک با تقسیم میتوزی بافت هاگزای و لایه‌های دیواره‌ای بساک را ایجاد می‌کنند. لایه‌های دیواره‌ای از هم قابل تشخیص هستند، اما هیچ تمایزی در آن‌ها دیده نمی‌شود (شکل ۴ F و ۸ B). در مرحله بافت اسپوروژن، بافت هاگزای رنگبازیری بیشتری را نشان

می‌دهد و ابتدای تمایزیابی سلول‌های مادر گرده دیده می‌شود. در این مرحله همه بساک‌ها در مقطع دیده نمی‌شوند و یا میله برخی دیده می‌شود که اشاره به ناجور ریختی آن‌ها می‌کند (شکل ۴). (F).

در مرحله بعد، بافت هاگزای در طی رشد به سلول‌های مادر گرده (میکروسپور) تمایز می‌یابد که این سلول‌ها نیز بهدلیل فعالیت زیاد دارای هسته با رنگبزیری بالا هستند. در این زمان دیوارهای بساک در حال تشکیل است و لایه‌ها به سختی از هم قابل تشخیص هستند (شکل ۸ C, D, E). رشد بیشتر گلبرگ‌ها در این مرحله دیده می‌شود اما هنوز همپوشانی ندارند (شکل ۸ C).

سلول‌های مادر میکروسپور با انجام میوز I و II سلول‌های تترادی را تولید می‌کنند که بهوسیله دیواره کالوزی احاطه می‌شوند. لایه تغذیه‌ای نیز بهصورت رشد یافته و با رنگبزیری بالا اطراف این سلول‌ها در لایه داخلی بساک دیده می‌شود. این سلول‌ها مستطیلی شکل هستند (شکل ۸ F-I). اما لایه میانی در حال از بین رفتن است و باعث فاصله بین لایه تغذیه‌ای با لایه‌های دیگر شده است (شکل ۸ I).

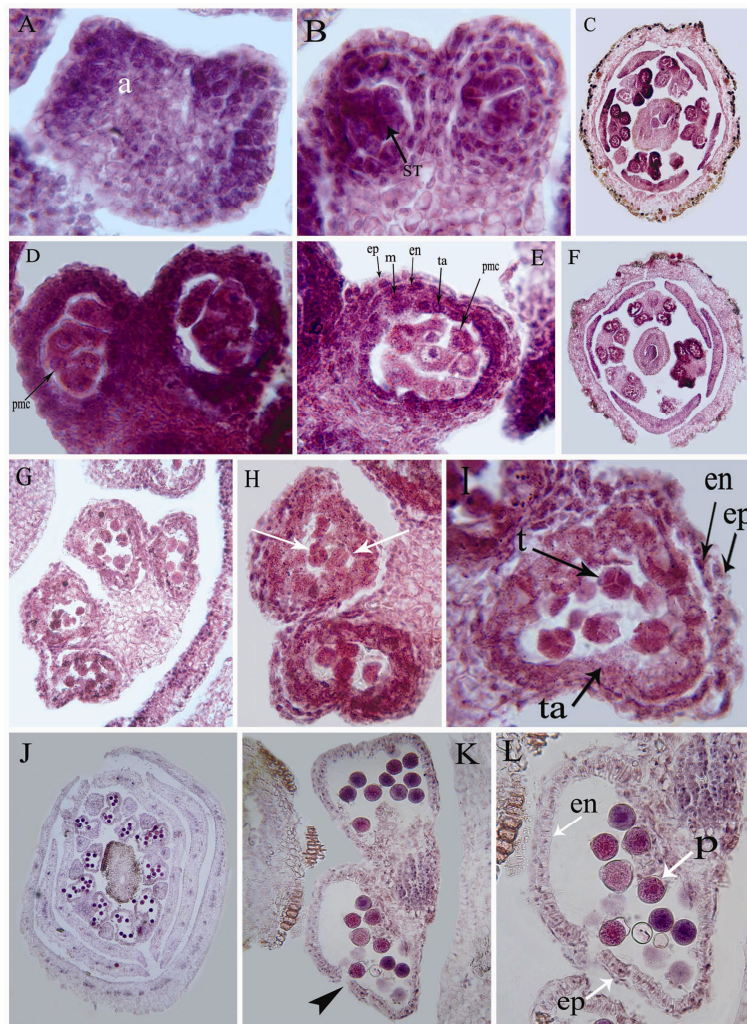
پس از مرحله تتراد، میکروسپورهای آزاد وارد حفره کیسه گرده می‌شوند (شکل ۸ J-L). ضمن بلوغ بساک و تمایز دانه‌های گرده، لایه‌های دیوارهای بساک بهجز لایه مکانیکی که زیر بشره قرار دارد، از بین می‌رود که این لایه دارای تزئینات فیبری است. در این مرحله بافت جداکننده بین دو کیسه گرده هر خانه بساک نیز تجزیه شده و دو حفره بساک ایجاد می‌شود که واحد دانه‌های گرده بالغ آمده رها شدن هستند. با شکافتگی طولی و برونقشای لایه مکانیکی دانه‌های گرده بالغ رها می‌شوند (شکل ۸ K).

### نحو مادگی

در آغاز مراحل رشد هیچ تمایز خاصی در بافت تخدمان دیده نمی‌شود و همه سلول‌ها پارانشیمی هستند (شکل ۹ A). در مرحله بعد تخمک بهصورت یک توده سلولی بدون تمایز (خورش) با یک بند به نسبت رشد یافته ظاهر می‌شود (شکل ۹ C). از این مرحله سلول‌های بشره‌ای تخدمان آثار تمایز را نشان می‌دهند (شکل ۹ B). در مرحله تتراد میکروسپور افزایش بافت خورش و نیز خمیدگی تخمک تا حدودی آشکار است و تغییر محتویات سلول‌های اپیدرمی تخمک هر چند بهصورت کند، ادامه دارد و باعث تمایز این بافت از بافت‌های مجاورش می‌شود (شکل ۹ D, E).

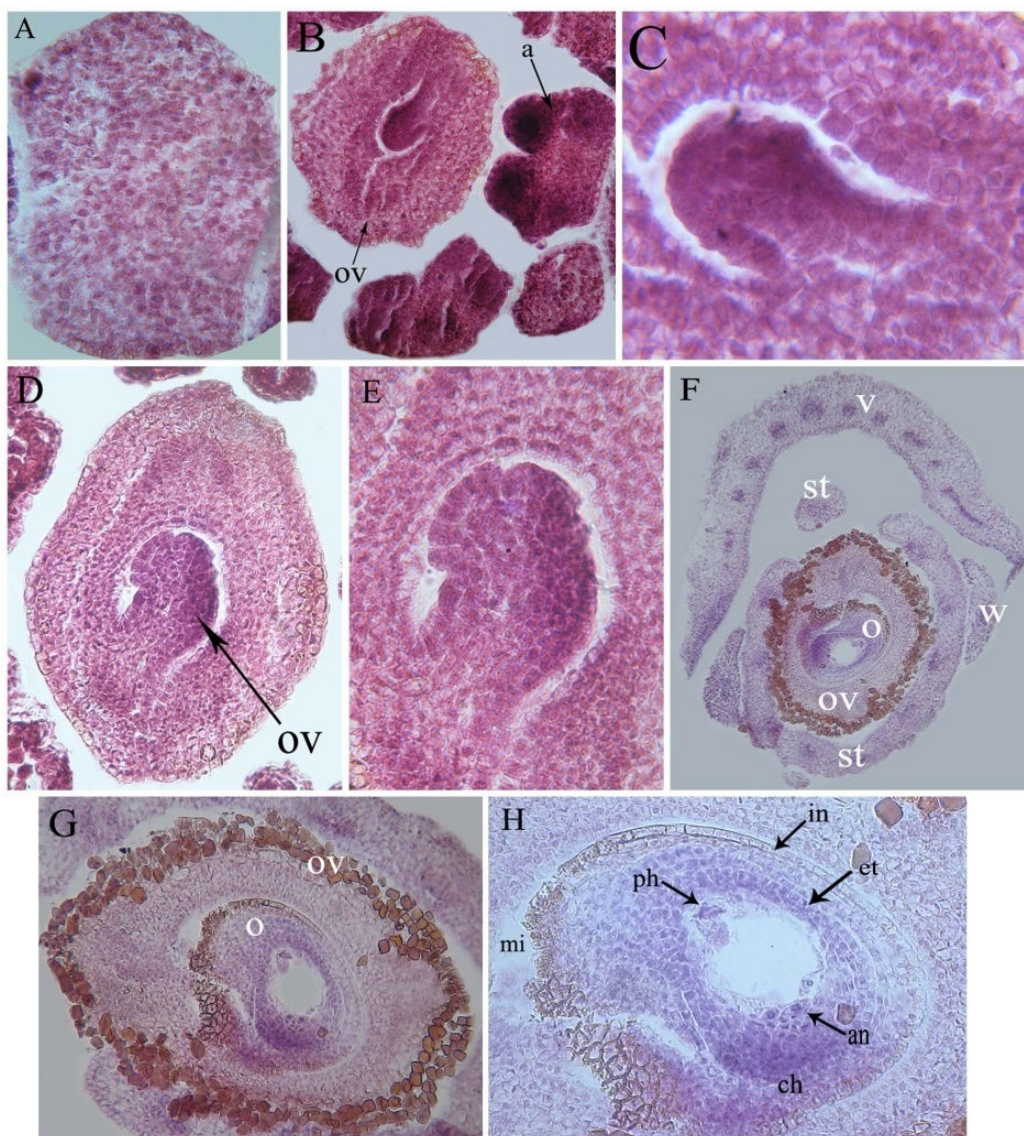
پس از مرحله تتراد همزمان با بلوغ بساک و دانه گرده، در تخدمان نیز واژگونی تخمک بهخوبی قابل تشخیص است و اپیدرم آن از سفت بهسمت بند تمایز می‌شود (شکل ۱۰ D-F). میزان تمایز اپیدرم تخدمان نیز افزایش می‌یابد بهطوری‌که یک تا چند ردیف سلول متمایز را می‌توان مشاهده کرد (شکل ۹ F-H). در مرحله بلوغ کیسه روبیانی از نوع پلی‌گونوم است و در آن در قطب بنی (شالازری) سه هسته آنتی‌پدال (متقاстр یا پادبن) و در قطب سفتی (میکروپیلی) دستگاه تخمز دیده می‌شود (شکل ۹ F-H). همراه با تشکیل کیسه جنینی

سلول‌های اپیتیلیال اطراف آن، آرایش منظم پیدا می‌کنند و در یک یا دو ردیف خطی کیسه‌جنینی را احاطه می‌کنند (شکل ۹ H). در پژوهش حاضر مراحل نمو کیسه‌جنینی مشاهده نشد.



شکل ۸. ساختار تشریحی بساق گل شیرین بیان در مراحل مختلف تمایز

A. بافت بساق بدون هر گونه تمایز بافتی،  $\times 100$ . B. بخشی از بساق با بافت اسپوروزن در حال تقسیم و رنگپذیر و لایه‌های دیواره‌ای که انواع آن از هم قابل تشخیص نیستند،  $\times 200$ . C. مقطع کامل گل، شروع تمایز سلول‌های مادر گرده،  $\times 100$ . D. بساق دارای دیواره سه لایه  $\times 100$ . E. سلول‌های مادر میکروسپور،  $\times 200$ . F. مقطع کامل گل، همپوشانی گلپوش و تمایز بساق در مرحله میکروسپورازی،  $\times 100$ . G. ساختمان کامل بساق در مرحله تترادی، تترادها، لایه مغذی با رنگپذیری بالا، به ترتیب  $\times 100$  و  $\times 200$ . H, I, L. برش عرضی گل شیرین بیان در مرحله بلوغ بساق‌ها، J. برش عرضی گل از بخش رأسی،  $\times 100$ . K. ساختمان کامل بساق که نوک پیکان محل شکفتگی کیسه گرده را نشان می‌دهد،  $\times 40$ . L. ساختمان حفره کیسه گرده که تیغه جدا کننده تحلیل رفته و دیواره‌های آن شامل اپیدرم و لایه مکانیکی است،  $\times 100$ . a=بساق، ST=توده هاگزای در حال تمایز به سلول‌های مادر گرده، دیواره اپیدرمی، en=لایه مکانیکی، p=دانه گرده تازه تشکیل شده، ta=لایه مغذی، pmc=سلول‌های مادر میکروسپور، m=لایه میانی، t=تتراد میکروسپورها.



شکل ۹. برش عرضی تخدان گل شیرین بیان در مراحل مختلف تمايز

A. بافت تخدان بدون هر گونه تمايز بافتی، X<sub>40</sub>. B. تخدان با بشرة در حال تشکیل محتویات، X<sub>40</sub>. C. برجستگی بافت زمینه‌ای تخدان در مراحل اولیه تشکیل تخمک، X<sub>20</sub>. D. تخدان با تخمک که برجستگی بافت تخمک در حال رشد است، X<sub>40</sub>. E. تخمک با خمیدگی بیشتر، بزرگنمایی X<sub>200</sub>. F. برش عرضی گل از بخش تحتانی، X<sub>20</sub>. G. بافت تخمک بالغ با اپیدرم دو یا سه لایه و تخمک دارای کيسه جنینی، X<sub>40</sub>. H. تخمک بالغ با دیواره در حال تمايز و کيسه جنینی و سلول‌های متقاطر در قطب شالازی و سلول‌های سینزیزید در قطب میکروپیلی، X<sub>100</sub>. ov = تخدان، o = تخمک، in = پوسته تخمک، ph = اپیتیال، et = اپیتیال، mi = قطب میکروپیلی، ch = سلول‌های متقاطر، st = قطب شالازی، v = میله پرچم، w = درفش، an = بال.

### نمودارهای ترشحی

گل شیرین‌بیان کرک‌های ترشحی فراوان دارد که باعث چسبناکی بیش از حد کاسه، جام گل و اندام‌های دیگر می‌شود. در پژوهش انجام شده روی گل این گیاه در کاسه گل، جام گل و اپیدرم بیرونی تخدمان کرک‌های ترشحی فراوان مشاهده شد و نیز در قسمت قاعده گل شیرین‌بیان یکسری غدد ترشحی دیده شدند.

### کرک‌های ترشحی کاسه گل

برخی از سلول‌های اپیدرم کاسیرگ تقسیم سلولی انجام داده و چندین سلول به صورت توده‌ای به وجود می‌آید (شکل ۱۰ A)، که سپس سلول‌های رأسی تقسیمات شعاعی (آنٹی‌کلینال) انجام داده و در سطح توده به صورت خطی قرار می‌گیرند (شکل ۱۰ B). این سلول‌ها مستطیلی شکل و از دیواره شعاعی بهم مرتبط هستند و یک حالت مسطح به سطح کرک می‌دهند (شکل ۱۰ C). این کرک‌های ترشحی در رنگ‌آمیزی با هماتوکسیلین و ائوزین به رنگ بنفش تیره دیده می‌شوند (شکل ۱۰ D-A)، اما در رنگ‌آمیزی با فلوروگلوسینول هیچ رنگ‌پذیری در این بخش‌ها دیده نشد. این کرک‌ها بدون رنگ‌آمیزی به رنگ قهوه‌ای دیده می‌شوند (شکل ۱۰ E).

برخی از کرک‌های ترشحی در رأس کروی نیستند بلکه چوگانی شکل هستند.

### کرک‌های پوششی کاسه گل

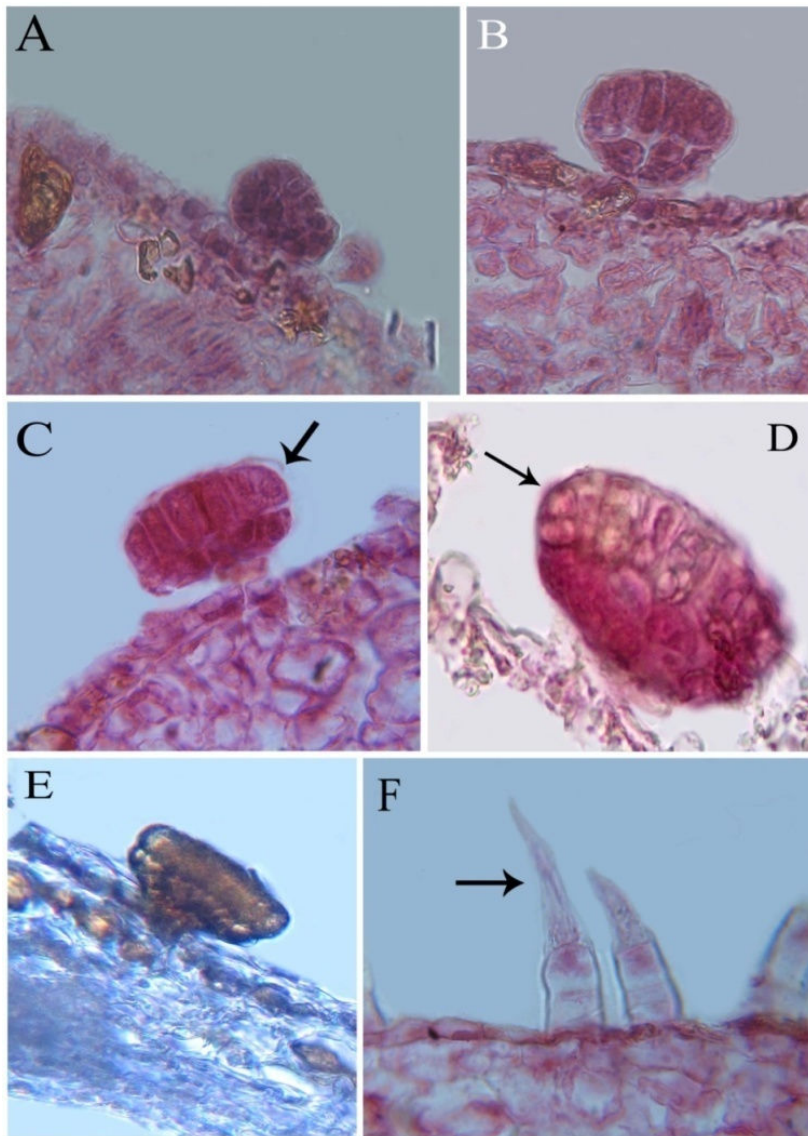
در سطح خارجی اپیدرم کاسه گل علاوه بر کرک‌های ترشحی کرک‌های پوششی نیز دیده می‌شوند. این کرک‌ها به طور معمول دوسلولی هستند که سلول پایینی به عنوان پایه عمل می‌کند و سلول بالایی نوکتیز است (شکل ۱۰ F).

### کرک‌های ترشحی مادگی

کرک‌های مربوط به مادگی در منطقه انتهایی تخدمان و ابتدای خامه و نیز در قسمت مربوط به انتهای خامه که نزدیک کلاله است فراوان دیده می‌شوند (شکل ۱۱ G-I و A). برخی از این کرک‌ها پس از تبدیل تخدمان به میوه نیام نیز روی سطح میوه دیده می‌شوند. نمو و بلوغ کرک‌ها مستقل از مراحل نموی اندام‌های دیگر گل است یعنی از همان مراحل اولیه بلوغ کرک‌هایی با مراحل نموی پیش‌فتنه دیده می‌شود.

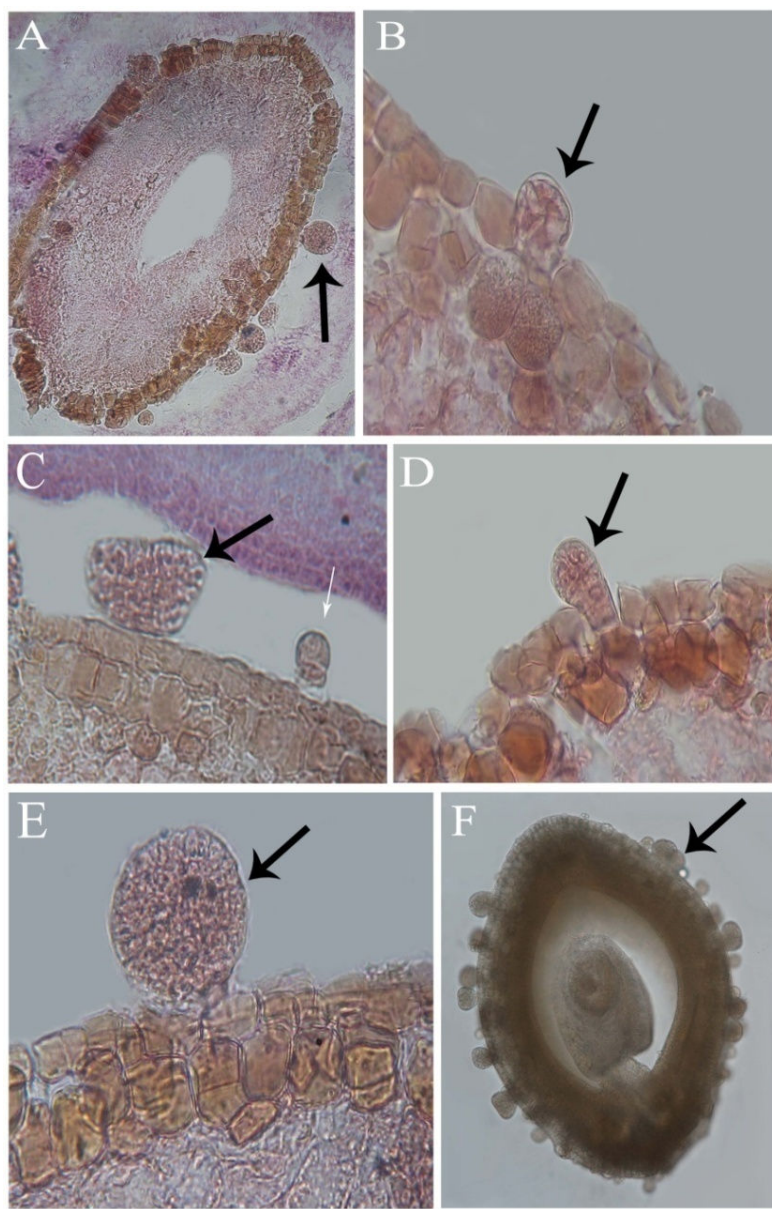
نمو کرک‌ها بدین شکل است که ابتدا یک سلول از سلول‌های بشره‌ای تقسیم مماسی انجام می‌دهد و دوسلولی می‌شود (شکل ۱۱ B، پیکان) و با انجام تقسیمات بعدی ابتدا یک بخش ۱ یا ۲ سلولی به وجود می‌آید (شکل ۱۱ C، پیکان سفید) سپس سلول‌های رأسی تقسیمات شعاعی (آنٹی‌کلینال) را انجام داده و یک پایه یک یا دوسلولی با سر کروی بسیار کوچک متصل از چند سلول را به وجود می‌آورند (شکل ۱۱ D، پیکان سیاه)، این قسمت به تدریج با انجام تقسیمات بعدی کروی می‌شود (شکل ۱۱ E). در برخی موارد قسمت رأسی سرکرک حالت مسطح به خود می‌گیرد (شکل ۱۱ C، پیکان سیاه).

در همه شکل‌های نشان داده شده سلول‌های اپیدرمی و زیراپیدرمی تخدمان از محتویات خاصی انباشته شده‌اند که به‌نظر می‌رسد نقش ترشحی داشته باشند (شکل ۱۱ A- F).



شکل ۱۰. کرک‌های ترشحی و پوششی کاسبرگ‌ها در گل شیرین بیان

A. تعدادی سلول که به حالت کروی روی اپیدرم کاسبرگ قرار دارند،  $10\times$ . B. سلول‌ها به دو دسته تقسیم می‌شوند که سلول‌های سطحی با تقسیمات آنتیکلینال یک ردیف سلول را تشکیل می‌دهند و سلول‌های سطح زیرین به حالت توده‌ای و نامنظمتر قرار دارند،  $200\times$ . C. سلول‌ها توسعه پیدا می‌کنند و سطح صافی را به کرک می‌دهند،  $160\times$ . D. کرک ترشحی بالغ رنگ‌آمیزی با هماتوکسیلین،  $200\times$ . E. کرک ترشحی بالغ بدون رنگ‌آمیزی،  $40\times$ . F. کرک پوششی، پیکان‌ها در شکل C نشان‌دهنده کرک‌های ترشحی و در شکل F نشان‌دهنده کرک‌های پوششی هستند،  $200\times$ .



شکل ۱۱. برش عرضی تخدان و ساختار کرک‌های ترشحی آن در گل شیرین بیان  
نمای کلی تخدان دارای تعدادی کرک ترشحی در اندازه‌های مختلف، X<sub>4</sub>، B. توده سلولی در مراحل اولیه نمو  
کرک ترشحی، X<sub>160</sub>. C. کرک با پایه کوتاه و سر مسطح (پیکان سیاه) و کرک در حال نمو ۱-۲ سلولی (پیکان  
سفید)، X<sub>120</sub>. D. کرک با پایه کوتاه و سر کروی شکل، X<sub>160</sub>. E. انواع کرک‌های ترشحی با سر مسطح و کروی،  
F. تخدان بدون رنگ‌آمیزی، X<sub>40</sub>. پیکان‌ها نشان‌دهنده کرک‌های ترشحی تخدان هستند.

### بحث

در شیرین بیان ساختار گل از الگوی کلی موجود در پروانه آسا پیروی می‌کند و تقارن دو جانبه پشتی-شکمی دارد [۲۵] که یک نوع سازگاری تکاملی است که دگر لفاحی را از طریق جذب گرده‌افشان‌ها آسان می‌کند [۲۹].

از طرفی این پدیده عامل انتخاب گروه کمتری از گردهافشان‌هاست. بهنظر می‌رسد زنیورهای بزرگ، گردهافشان‌های اصلی گل‌های نامتقارن باشند [۶]. زنیورهای شکل‌های پیچیده را به راحتی تشخیص می‌دهند و بنا بر این تقارن دو جانبی<sup>۱</sup> بسیاری از گل‌های لگومهارا خوب می‌شناسند [۲۳].

در بررسی مورفولوژیکی مشخص شد که گلبرگ‌های بال پررنگتر از گلبرگ‌های دیگر هستند و در ساختار تشریحی آن‌ها نیز ساختارهای ترشحی فراوان وجود دارند که بهنظر می‌رسد در جذب گرده افسان‌ها موثر باشند. در این جنس، این ساختارها در مرحله تتراد میکرو‌سپور زایی تشکیل می‌شوند. تجزیه سلولی و تشکیل ساختارهای ترشحی در خانواده بقولات بسیار معمول است و در تاکسون‌های مختلفی گزارش شده است [۱۳]. ادغام دو گلبرگ ناو که ویژگی معمول پروانه‌آساهای در نظر گرفته شده است، در شیرین‌بیان دیده نشد و به عنوان کلید شناسایی جنس شیرین‌بیان استفاده می‌شود [۱].

در حلقه سوم گل، نافه گل قرار دارد که در برش عرضی در بخش قاعده‌ای به صورت پیوسته دیده می‌شوند، اما در رأس گل جدا از هم هستند. در شیرین‌بیان، نافه از ۱۰ پرچم تشکیل می‌شود که در مراحل اولیه نمو در دو ردیف ۵ تابی قرار می‌گیرند و بعد با بزرگ شدن نهنج این ۱۰ پرچم در یک ردیف به حالت دونسته‌ای به یکدیگر متصل می‌شوند [۲۵]. الحال پرچم‌ها باعث لوله‌ای شدن آن‌ها می‌شود که ویژگی برجسته در گل‌های پروانه‌آساست و باعث محدود شدن رفتار گردهافشان می‌شود [۶]. پرچم‌ها ناجور شکل<sup>۲</sup> هستند، یعنی میله‌های آن‌ها کوتاه و بلند است و بساک‌ها نیز بزرگ و کوچک هستند. همچنین، مراحل نموی کیسه‌های گرده یک بساک مانند تاکسون دیگر این خانواده نیز ممکن است مقاوت باشد [۲۸]. دیواره‌های بساک از بیرون به درون شامل اپیدرم، لایه مکانیکی، لایه میانی با یک ردیف سلول و لایه مغذی هستند [۲، ۳، ۹، ۱۰، ۱۱، ۱۲، ۲۵، ۲۶]، در حالی که در گیاهان دوماسیا میاولینا سیس<sup>۳</sup> [۲]، اوریا سینیتا<sup>۴</sup> [۱۱] و سپارتیوم جانسیوم [۱۴] بر عکس شیرین‌بیان دو لایه میانی تشکیل می‌شود. بر اساس پژوهش هارددی<sup>۵</sup> و همکاران بهنظر می‌رسد دیواره کیسه گرده از نوع تکلیه‌ای<sup>۶</sup> باشد [۳]. دیواره کیسه گرده در شیرین‌بیان در مرحله سلول مادر مگاسپور تشکیل می‌شود، اما هنوز تمایز کافی ندارند و رنگ‌پذیری مشابهی دارند. لایه مغذی در مرحله تتراد به سلول‌های مستطیلی مشخص تک هسته‌ای تمایز می‌یابد. که از این نظر با اونوبوروکیس چاهون سیس<sup>۷</sup> مقاوت و با کلادهای<sup>۸</sup> این تیره، بررسی شده مانسانو<sup>۹</sup> و تیسیرا<sup>۱۰</sup> (۲۰۰۸) مشابه است. همچنین، تاپی تک‌هسته‌ای را در اوراریا کرینیتا<sup>۱۱</sup> [۲]، دومازیا میاولینسیس<sup>۱۲</sup> [۱۱] و دالستدیتا مالمه<sup>۱۳</sup> [۲۶] نیز می‌توان یافت.

عدم تغییرپذیری سلول‌های لایه مغذی تا آخر مرحله تتراد میکرو‌سپورها یک ویژگی غیرمعمول است که در لگوم‌ها دیده می‌شود [۲۸]. در نهان‌دانگان دیگر، لایه مغذی طی مرحله تتراد تجزیه می‌شوند و سلول‌های خود را از دست می‌دهند و تیره کایوباسه<sup>۱۴</sup> حتی لایه مغذی خود را زودتر و طی مرحله سلول مادر میکرو‌سپور از

<sup>۱</sup> . Zygomorphy	<sup>۲</sup> . Heteromorphy	<sup>۳</sup> . <i>Dumasia miaoliensis</i>	<sup>۴</sup> . <i>Uraria crinita</i>
<sup>۵</sup> . Hardy	<sup>۶</sup> . Monocotyledonous	<sup>۷</sup> . <i>Onobrochys schahuensis</i>	<sup>۸</sup> . Clades
<sup>۱۰</sup> . Teixeira	<sup>۱۱</sup> . <i>Uraria crinita</i>	<sup>۱۲</sup> . <i>Dumasia miaoliensis</i>	<sup>۹</sup> . Mansano
<sup>۱۴</sup> . Cabombaceae			<sup>۱۳</sup> . <i>Dahlstedtia Malme</i>

دست می‌دهد [۲۸]. تابی ترشحی، تقسیم سیتوپلاسم همزمان و آرایش میکروسپورها درون دیواره کالوزی چهاروجهی<sup>۱</sup> است که با نتایج بررسی‌های قبلی از این تیره مشابه است [۸، ۱۰، ۱۴، ۱۱، ۱۷، ۲۶]. ساختار مادگی یک برچه‌ای با تمکن کناری است. خمیدگی برجستگی بافت خورش که در مرحله تتراد میکروسپور مشاهده شد منجر به تولید تخمک واژگون<sup>۲</sup> می‌شود [۷، ۱۰، ۱۵، ۲۲]. تخمک بالغ پرخورش است که مطابق با پژوهش‌های قبلی ویژگی معمول این تیره است [۴، ۷، ۹، ۲۰، ۲۱، ۲۲]. مراحل مربوط به نمو کیسه رویانی در گیاه بررسی شده بهطور کامل مشاهده نشد، اما نتایج پژوهش‌های قبلی وجود هر دو نوع تتراد خطی [۷، ۱۰، ۲۷] و T-شکل را [۱۰، ۱۳، ۲۰، ۲۲] را در گیاهان این تیره گزارش کرده‌اند. کیسه رویانی بالغ شیرین‌بیان از نوع پلیگونوم است که یک ویژگی معمول در زیرتیره پروانه آسا است [۴، ۷، ۹، ۱۰، ۱۵، ۱۸، ۱۹، ۲۰، ۲۲، ۲۷].

در ساختمان تشریحی کاسه، برآکته و تخدمان گل شیرین‌بیان کرک‌های ساده پوششی، از مراحل آغازین نمو دیده شدن. این نتایج با پژوهش‌های مانسانو که کرک‌ها را در مرحله بلوغ گل‌ها مشاهده کرد متفاوت است [۲۸]. علاوه بر کرک‌های ساده، یکسری ساختمان گرزی‌شکل<sup>۳</sup> نیز روی سطح خارجی برآکته‌ها، کاسبرگ‌ها و تخدمان دیده شد که مانسانو<sup>۴</sup> بر اساس تعریف توomas<sup>۵</sup> (۱۹۹۱)، آن‌ها را کلاتر نامید [۲۸]. کلاترها ساختمان‌های ترشحی چندسلولی هستند که ممکن است در رأس ساقه‌های رویشی و زایشی نیز وجود داشته باشند [۲۸]. بمنظر می‌رسد نقش آن‌ها حفاظت از غنچه از طریق تولید ماده غلیظ از همان مراحل اولیه نمو باشد [۲۸]. در پژوهش حاضر بمنظر می‌رسد شهد واقع روی تخدمان نیز برای جلب حشره به داخلی‌ترین اندام گل و در واقع بهانه‌ای برای تماس با گرده‌ها و کمک به چسبیدن گرده‌ها به پاهای حشره باشد [۵]. طی تمایز، سلول‌های اپیدرمی کاسه گل، تخدمان و تخمک حاوی محتویات فنلی و مواد با زیربنای چربی می‌شوند. به عقیده مانسانو این سلول‌ها ایدیوبلاست‌های حاوی ترکیبات فنولی هستند که در بروونبر میوه باقی می‌مانند و خواص ضد انگل و ضد لارو دارند [۲۸]. استفاده از رنگ‌آمیزی‌های مختلف وجود مواد با زیربنای فنلی (تاننی) را در پوشش تخدمان نشان داد اما با رنگ‌کننده‌های اختصاصی چوب هیچ واکنشی دیده نشد، هر چند که در پوش دانه غالب گیاهان این خانواده، چوبی شدن سلول‌های اپیدرم و نیز در اغلب موارد لایه زیراپیدرمی گزارش شده است که طی تمایز ماکرواسکلرید و میکرواسکلریدها را تشکیل می‌دهند.

## منابع

۱. فهرمان، احمد، کورو موافیت‌های ایران (سیستماتیک گیاهی)، جلد ۲، مرکز نشر دانشگاهی، تهران (۱۳۷۲).
۲. A. Chehregani, N. Tanaomi, "Ovule ontogenesis and megagametophyte development in *Onobrychis schahuensis* Bornm", (Fabaceae), Turk Journal of Botany, 34 (2010) 241-248.

3. A. Chehregani, N. Tanaomi, M. Ranjbar, "Pollen and anther development in *Onobrychis schahuensis* Bornm, (Fabaceae), International Journal of Botany, 4(2008) 241-244.
4. A. F. Soverna, B. Galati, P. Hoc, "Study of ovule and megagametophyte development in four species of subtribe phaseolinae (Leguminosae), Acta Biologica Cracoviensia Series Botanica, 45(2003) 63-73.
5. A. Jakubska, D. Przado, M. Steininger, J. Aniol- Kwiatkowska, M. Kadej, "Why do pollinators become “sluggish”? nectar chemical constituents from *Epipactis helleborine* (L.) Crantz (orchidaceae)", Applied Ecology and Environmental Research, 3(2005) 29-38.
6. A. V. Etcheverry, M. M. Aleman, T. F. "Fleming Flower morphology, pollination biology and mating system of the complex flower of *Vigna caracalla* (Fabaceae: Papilionoideae)", Annals of Botany, 102(2008) 305-316.
7. B. G. Galati, S. Rosenfeldt, G. M. Tourn, "Embryological studies in *Lotus glaber* (Fabaceae). Annales Botanici Fennici, 43 (2006) 97-106.
8. C. A. Wilson, "Floral stages, ovule development, and ovule and fruit success in *Iris Tenax*, focusing on Var. *Gormanii*, A Taxon with low seed set", American Journal of Botany, 88 (2001) 2221-2231.
9. C. C. Liu, T. C. Huang, "Anther and pollen wall development in *Dumasia miaoliensis* Liu and Lu (Fabaceae)", Taiwania, 48 (2003) 273-281.
10. C. C. Liu, T. C. Huang, "Microsporogenesis and exine substructure in *Uraria crinita* (Fabaceae)", Grana, 38 (1999) 277-283.
11. C. R. Hardy, D. W. Stevenson, "Development of the gametophytes, flower, and floral vasculature in *Cochliostema odoratissimum* (Commelinaceae)", Botanical Journal of the Linnean Society, 134 (2000) 131-157.
12. E. A. S. Paiva, "Ultrastructure and post-floral secretion of the pericarpial nectaries of *Erythrina speciosa* (Fabaceae)", Annals of Botany, 104 (2009) 937-944.
13. E. A. S. Paiva, D. M. T. Oliveria, S. R. Machado, "Anatomy and ontogeny of the pericarp of *Pterodon emarginatus* Vogel (Fabaceae, Faboideae), with emphasis on secretory ducts", Annals of the Brazilian Academy of Sciences, 80 (2008) 455-465.

14. F. Rezanejad, "The Effect of Air Pollution on Microsporogenesis, Pollen Development and Soluble Pollen Proteins in *Spartium junceum* L. (Fabaceae)", Turk Journal of Botany, 31 (2007) 183-191.
15. F. Rezanejad, "Zygotic embryogenesis in *Spartium junceum* L. (Fabaceae): development of embryo and Suspensor", International Journal of Botany, 2 (2006) 113-116.
16. J. B. Vibha, k. Choudhary, M. Singh, M. S. Rathore, N. S. Shekhawat, "A Study on pharmacokinetics and therapeutic efficacy of *Glycyrrhiza glabra*: A miracle medicinal herb", Botany Research International, 2 (2009) 157-163.
17. K. Suzuki, H. Takeda, T. Tsukaguchi, Y. Egawa, "Ultrastructural study on degeneration of tapetum in anther of snap bean (*Phaseolus vulgaris* L.) under heat stress", Sex Plant Reproduction, 13 (2001) 293-299.
18. M. Akhalkatsi, M. Pfauth, C. L. Calvin, "Structural aspects of ovule and seed development and nonrandom abortion in *Melilotus officinalis* (Fabaceae)", Protoplasma, 208 (1999) 211-223.
19. M. C. C. Moco, J. E. A. Mariath, "Female gametophyte development in *Adesmia latifolia* (Spreng.) Vog. (Leguminosae – Papilioideae)", Revista Brasil Botany, 27 (2004) 241-248.
20. M. C. C. Moco, J. E. A. Mariath, "Ovule ontogenesis and megasporogenesis in *Adesmia latifolia* (Spreng.) Vog. (Leguminosae-Papilioideae)", Revista Brasil Botany, 26 (2003) 495-502.
21. M. Riahi, S. Zarre, "Seed development in *Astragalus cemerinus* and *A. Ruscifolius* (fabaceae), and its systematic implications", Acta Biologica Cracoviensi Series Botanica, 51 (2009) 111-117.
22. M. Rodriguez-Pontes, "Development of megagametophyte, embryo and seed in *Senna corymbosa* (Lam.) H. S. Irwin & Barneby (Leguminosae- Caesalpinoideae)", Botany Journal of Linnean Society, 153 (2007) 169-179.
23. Q. C. B. Cronk, "Legume flowers bear fruit", Proceedings of the National Academy of Sciences, 103(2006) 4801-4802.
24. S. A. Zimnitskaya, "State of the reproductive system of populations of Species of the genus *Glycyrrhiza glabra* L. (Fabaceae)", contemporary Problems of Ecology, 2(2009) 392-395.
25. S. C. Tucker, "Floral Development in Legumes", Plant Physiology, 131 (2003) 911-926.

26. S. P. Teixeira, E. R. Forni-Martins, N. T. Ranga, "Development and cytology of pollen in *Dahlstedtia Malme* (Leguminosae: Papilionoideae)", Botanical Journal of Linnean Society, 138 (2002) 461-471.
27. T. Rodriguez-Riano, F. J. Valtuena, A. Ortega-Olivencia, "Megasporogenesis, Megagametogenesis and Ontogeny of the Aril in *Cytisus striatus* and *C. multiflorus* (Leguminosae: Papilionoideae)", Annals of Botany, 98 (2006) 777-791.
28. V. F. Mansano, S. P. Teixeira, "Floral anatomy of the *Lecointea* clade (Leguminosae, Papilionoideae, Swartzieae sensu lato)", Plant Systematic Evolution, 273 (2008) 201-209.
29. Z. Feng, Z. Zhao, Z. Tian, S. Xu, Y. Luo, Z. Cai, Y. Wang, J. Yang, Z. Wang, L. Weng, J. Chen, L. Zheng, L. Zheng, X. Guo, J. Luo, S. Sato, S. Tabata, W. Ma, X. Cao, X. Hu, C. Sun and D. Luo, "Control of petal shape and floral zygomorphy in *Lotus japonicus*", Proceedings of the National Academy of Sciences, 103 (2006) 4970-4975.